

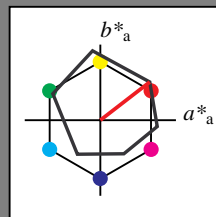
## Eingabe: Farbmimetrisches Reflexions-System ORS18

für Buntton  $h^* = lab \cdot h = 38/360 = 0.105$  $lab \cdot tch$  und  $lab \cdot nch$ 

D65: Buntton O

LCH\*Ma: 48 83 38

rgb\*Ma: 1.0 0.0 0.0



## ORS18; adaptierte CIELAB-Daten

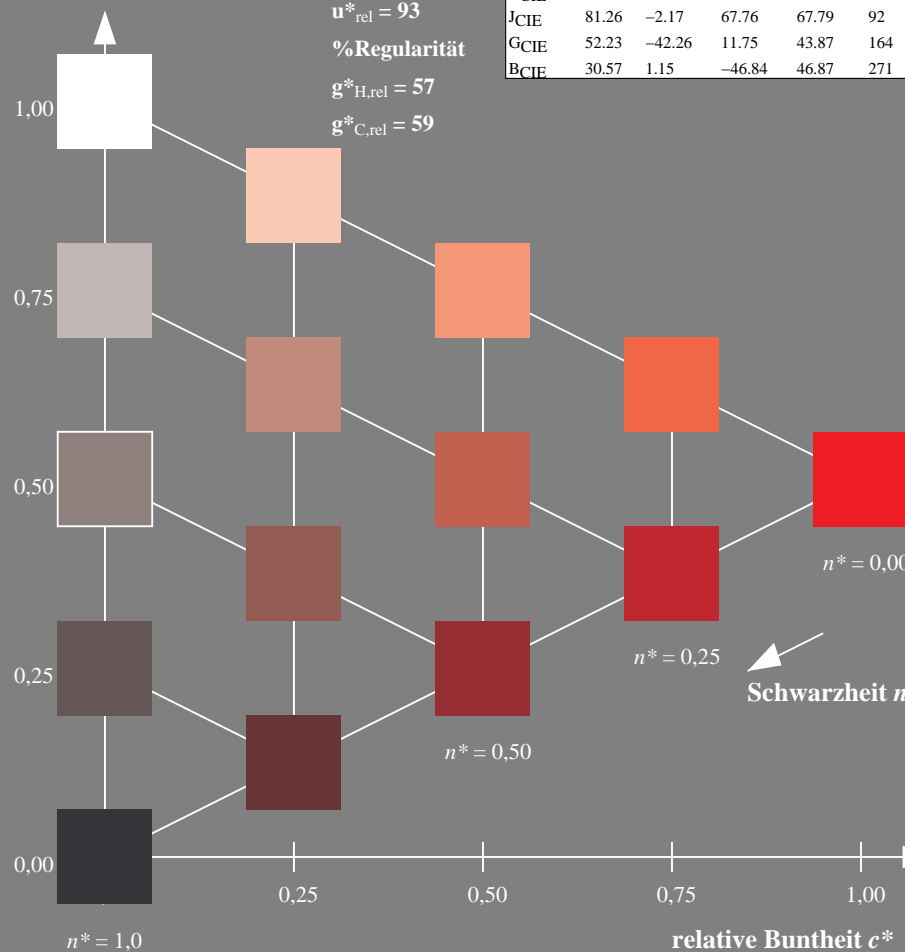
	$L^*=L^*_a$	$a^*_a$	$b^*_a$	$C^*_{ab,a}$	$h^*_{ab,a}$
OMa	47.94	65.37	50.52	82.62	38
YMa	90.37	-10.27	91.77	92.34	96
LMa	50.9	-62.79	34.95	71.87	151
CMa	58.62	-30.35	-45.01	54.3	236
VMa	25.71	31.11	-44.42	54.24	305
MMa	48.13	75.27	-8.35	75.73	354
NMa	18.01	0.0	0.0	0.0	0
WMa	95.41	0.0	0.0	0.0	0
RCIE	39.92	58.66	26.98	64.56	25
JCIE	81.26	-2.17	67.76	67.79	92
GCIE	52.23	-42.26	11.75	43.87	164
BCIE	30.57	1.15	-46.84	46.87	271

Dreiecks-Helligkeit  $t^*$ 

%Umfang

 $u^*_{rel} = 93$ 

%Regularität

 $g^*_{H,rel} = 57$  $g^*_{C,rel} = 59$ 

UG220-7, 5 stufige Reihen für konstanten CIELAB Buntton 38/360 = 0.105 (links)

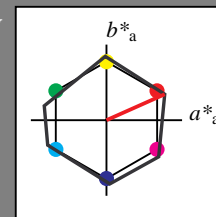
## Ausgabe: Farbmimetrisches Reflexions-System NRS11

für Buntton  $h^* = lab \cdot h = 24/360 = 0.067$  $LAB \cdot LCH$ ,  $LAB \cdot NCH$ 

D65: Buntton R

LCH\*Ma: 53 84 24

rgb\*Ma: 1.0 0.0 0.0



## NRS11; adaptierte CIELAB-Daten

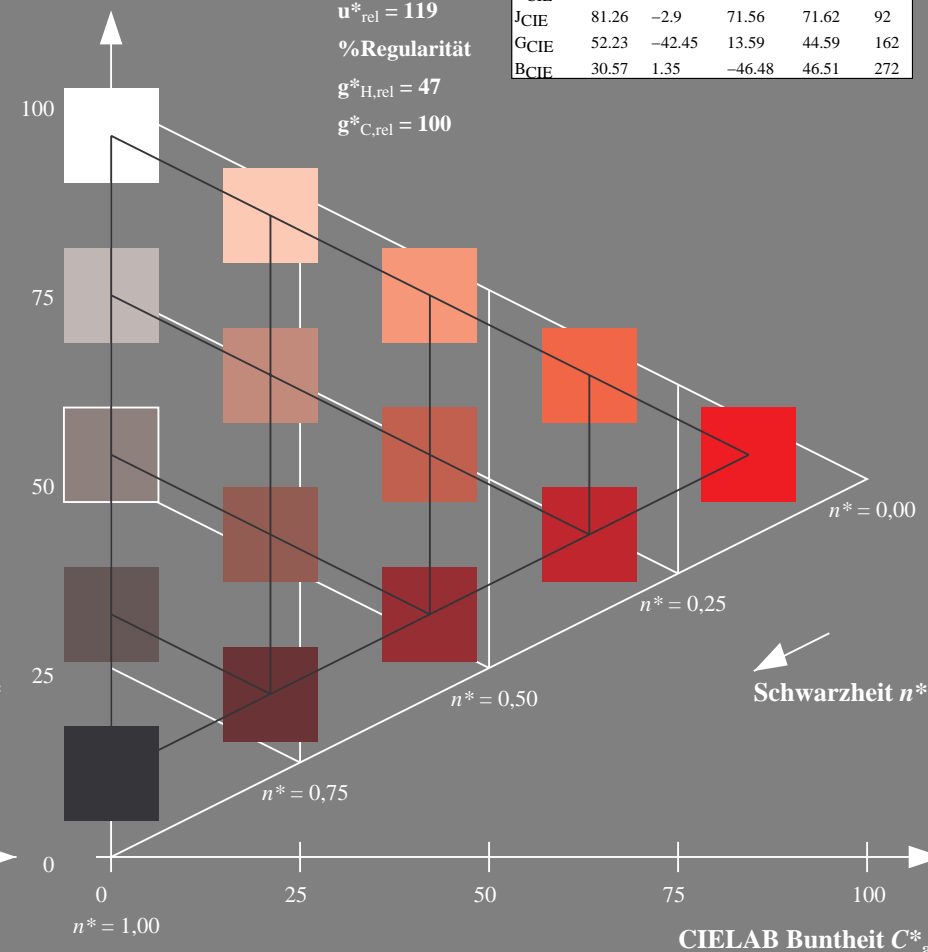
	$L^*=L^*_a$	$a^*_a$	$b^*_a$	$C^*_{ab,a}$	$h^*_{ab,a}$
RMa	53.2	77.06	34.32	84.36	24
JMa	53.2	-1.51	84.38	84.39	91
GMa	53.2	-82.27	18.98	84.44	167
G50BMa	53.2	-77.72	-32.98	84.44	203
BMa	53.2	4.37	-84.28	84.41	273
B50RMa	53.2	69.09	-48.41	84.37	325
NMa	10.99	0.0	0.0	0.0	0
WMa	95.41	0.0	0.0	0.0	0
RCIE	39.92	58.69	27.98	65.01	25
JCIE	81.26	-2.9	71.56	71.62	92
GCIE	52.23	-42.45	13.59	44.59	162
BCIE	30.57	1.35	-46.48	46.51	272

CIELAB-Helligkeit  $L^*$ 

%Umfang

 $u^*_{rel} = 119$ 

%Regularität

 $g^*_{H,rel} = 47$  $g^*_{C,rel} = 100$ 

5 stufige Reihen für konstanten CIELAB Buntton 24/360 = 0.067 (rechts)

BAM-Prüfvorlage UG22; Farbmimetrische-Systeme ORS18 &amp; ORS18input: cmy0\* setcmykcolor

D65: Koordinaten-Systeme von 5stufigen Farbreihen für 10 Bunttoninput: Startup (S) data dependend

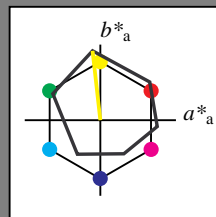
## Eingabe: Farbmimetrisches Reflexions-System ORS18

für Buntton  $h^* = lab \cdot h = 96/360 = 0.268$  $lab \cdot tch$  und  $lab \cdot nch$ 

D65: Buntton Y

LCH\*Ma: 90 92 96

rgb\*Ma: 1.0 1.0 0.0

Dreiecks-Helligkeit  $t^*$ 

%Umfang

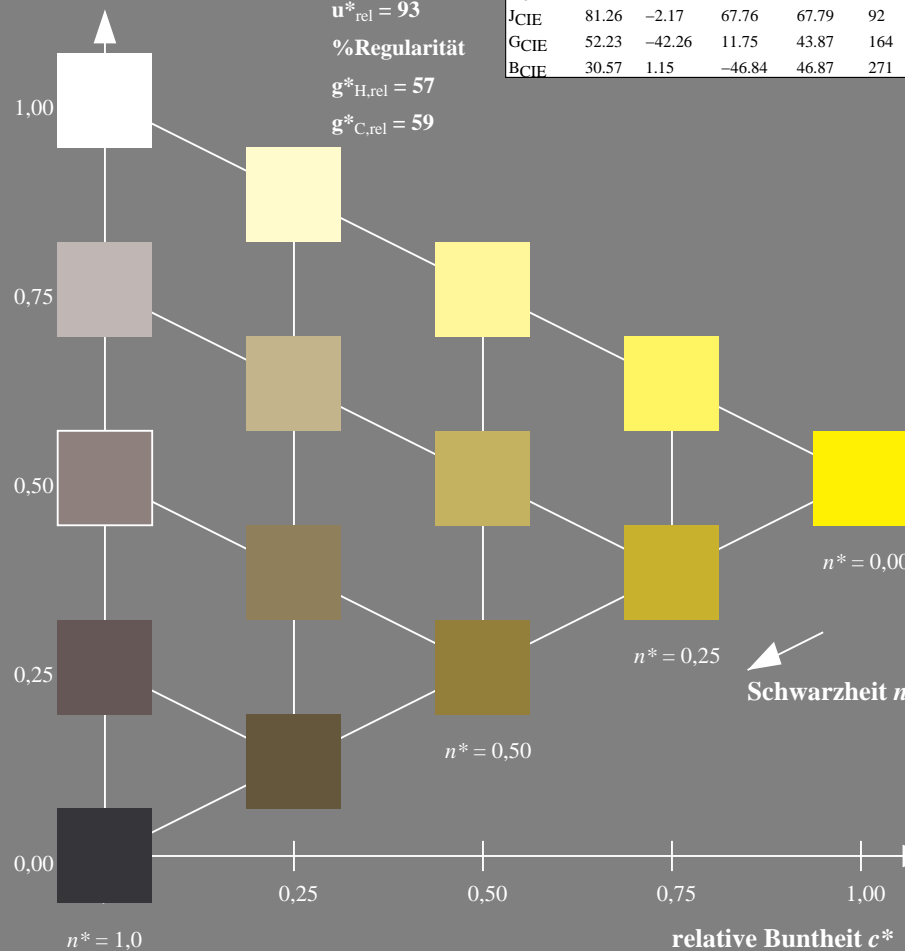
 $u^*_{rel} = 93$ 

%Regularität

 $g^*_{H,rel} = 57$  $g^*_{C,rel} = 59$ 

## ORS18; adaptierte CIELAB-Daten

	$L^*=L^*_a$	$a^*_a$	$b^*_a$	$C^*_{ab,a}$	$h^*_{ab,a}$
OMa	47.94	65.37	50.52	82.62	38
YMa	90.37	-10.27	91.77	92.34	96
LMa	50.9	-62.79	34.95	71.87	151
CMa	58.62	-30.35	-45.01	54.3	236
VMa	25.71	31.11	-44.42	54.24	305
MMa	48.13	75.27	-8.35	75.73	354
NMa	18.01	0.0	0.0	0.0	0
WMa	95.41	0.0	0.0	0.0	0
RCIE	39.92	58.66	26.98	64.56	25
JCIE	81.26	-2.17	67.76	67.79	92
GCIE	52.23	-42.26	11.75	43.87	164
BCIE	30.57	1.15	-46.84	46.87	271



UG220-7, 5 stufige Reihen für konstanten CIELAB Buntton 96/360 = 0.268 (links)

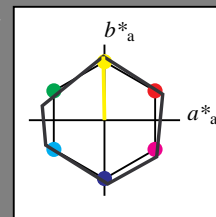
## Ausgabe: Farbmimetrisches Reflexions-System NRS11

für Buntton  $h^* = lab \cdot h = 91/360 = 0.253$  $LAB \cdot LCH$ ,  $LAB \cdot NCH$ 

D65: Buntton J

LCH\*Ma: 53 84 91

rgb\*Ma: 1.0 1.0 0.0

CIELAB-Helligkeit  $L^*$ 

%Umfang

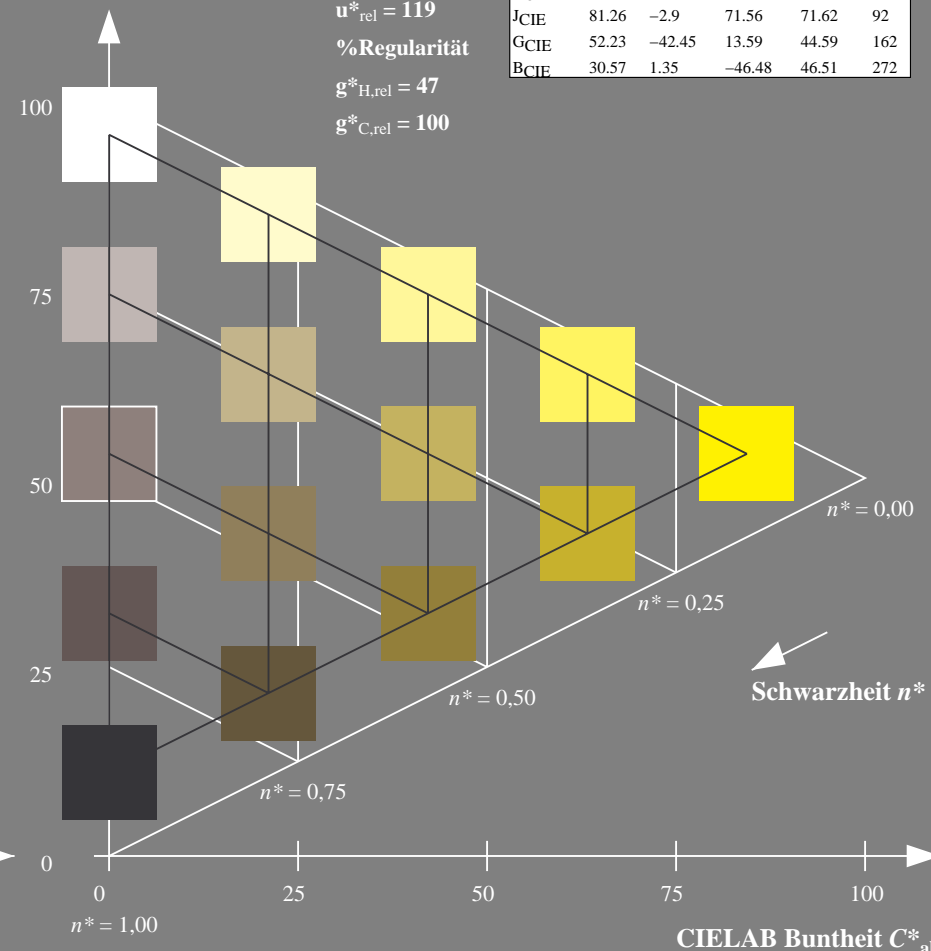
 $u^*_{rel} = 119$ 

%Regularität

 $g^*_{H,rel} = 47$  $g^*_{C,rel} = 100$ 

## NRS11; adaptierte CIELAB-Daten

	$L^*=L^*_a$	$a^*_a$	$b^*_a$	$C^*_{ab,a}$	$h^*_{ab,a}$
RMa	53.2	77.06	34.32	84.36	24
JMa	53.2	-1.51	84.38	84.39	91
GMa	53.2	-82.27	18.98	84.44	167
G50BMa	53.2	-77.72	-32.98	84.44	203
BMa	53.2	4.37	-84.28	84.41	273
B50RMa	53.2	69.09	-48.41	84.37	325
NMa	10.99	0.0	0.0	0.0	0
WMa	95.41	0.0	0.0	0.0	0
RCIE	39.92	58.69	27.98	65.01	25
JCIE	81.26	-2.9	71.56	71.62	92
GCIE	52.23	-42.45	13.59	44.59	162
BCIE	30.57	1.35	-46.48	46.51	272



5 stufige Reihen für konstanten CIELAB Buntton 91/360 = 0.253 (rechts)

BAM-Prüfvorlage UG22; Farbmimetrische-Systeme ORS18 &amp; ORS18input: cmy0\* setcmykcolor

D65: Koordinaten-Systeme von 5stufigen Farbreihen für 10 Bunttoninput: Startup (S) data dependend

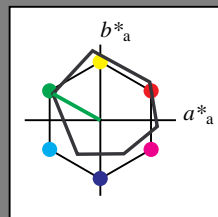
## Eingabe: Farbmétrisches Reflexions-System ORS18

für Buntton  $h^* = lab \cdot h = 151/360 = 0.419$  $lab \cdot tch$  und  $lab \cdot nch$ 

D65: Buntton L

LCH\*Ma: 51 72 151

rgb\*Ma: 0.0 1.0 0.0



## ORS18; adaptierte CIELAB-Daten

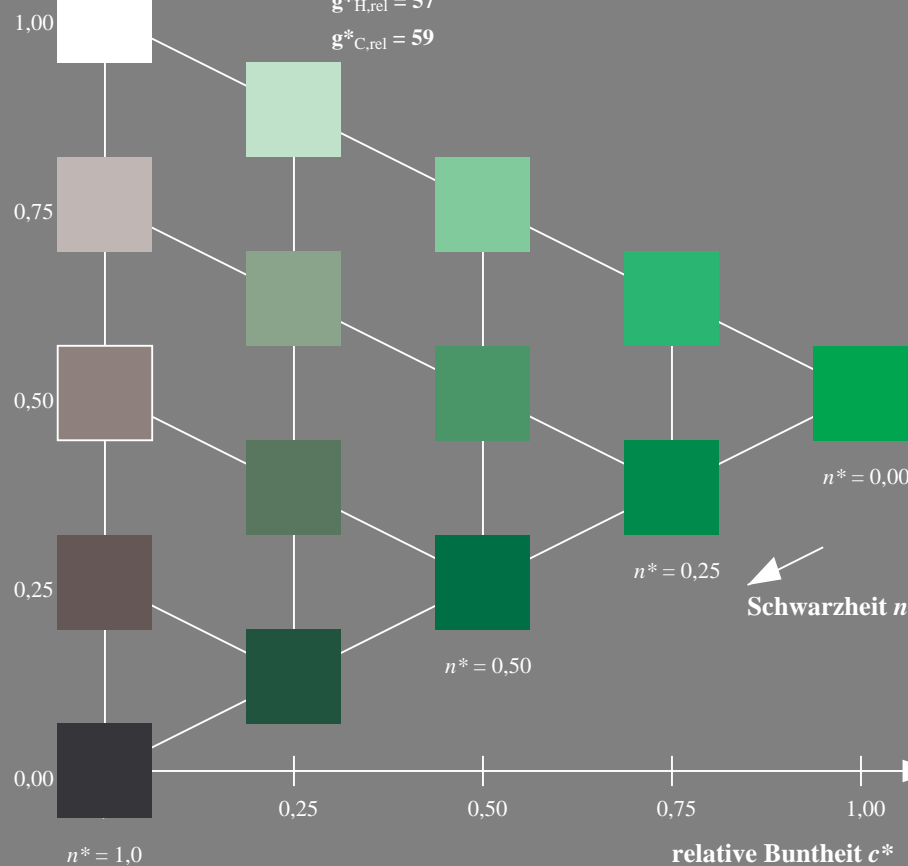
	$L^*=L^*_a$	$a^*_a$	$b^*_a$	$C^*_{ab,a}$	$h^*_{ab,a}$
OMa	47.94	65.37	50.52	82.62	38
YMa	90.37	-10.27	91.77	92.34	96
LMa	50.9	-62.79	34.95	71.87	151
CMa	58.62	-30.35	-45.01	54.3	236
VMa	25.71	31.11	-44.42	54.24	305
MMa	48.13	75.27	-8.35	75.73	354
NMa	18.01	0.0	0.0	0.0	0
WMa	95.41	0.0	0.0	0.0	0
RCIE	39.92	58.66	26.98	64.56	25
JCIE	81.26	-2.17	67.76	67.79	92
GCIE	52.23	-42.26	11.75	43.87	164
BCIE	30.57	1.15	-46.84	46.87	271

Dreiecks-Helligkeit  $t^*$ 

%Umfang

 $u^*_{rel} = 93$ 

%Regularität

 $g^*_{H,rel} = 57$  $g^*_{C,rel} = 59$ 

UG220-7, 5 stufige Reihen für konstanten CIELAB Buntton 151/360 = 0.419 (links)

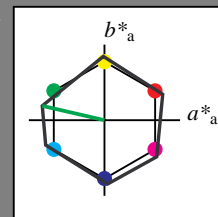
## Ausgabe: Farbmétrisches Reflexions-System NRS11

für Buntton  $h^* = lab \cdot h = 167/360 = 0.464$  $LAB \cdot LCH$ ,  $LAB \cdot NCH$ 

D65: Buntton G

LCH\*Ma: 53 84 167

rgb\*Ma: 0.0 1.0 0.0



## NRS11; adaptierte CIELAB-Daten

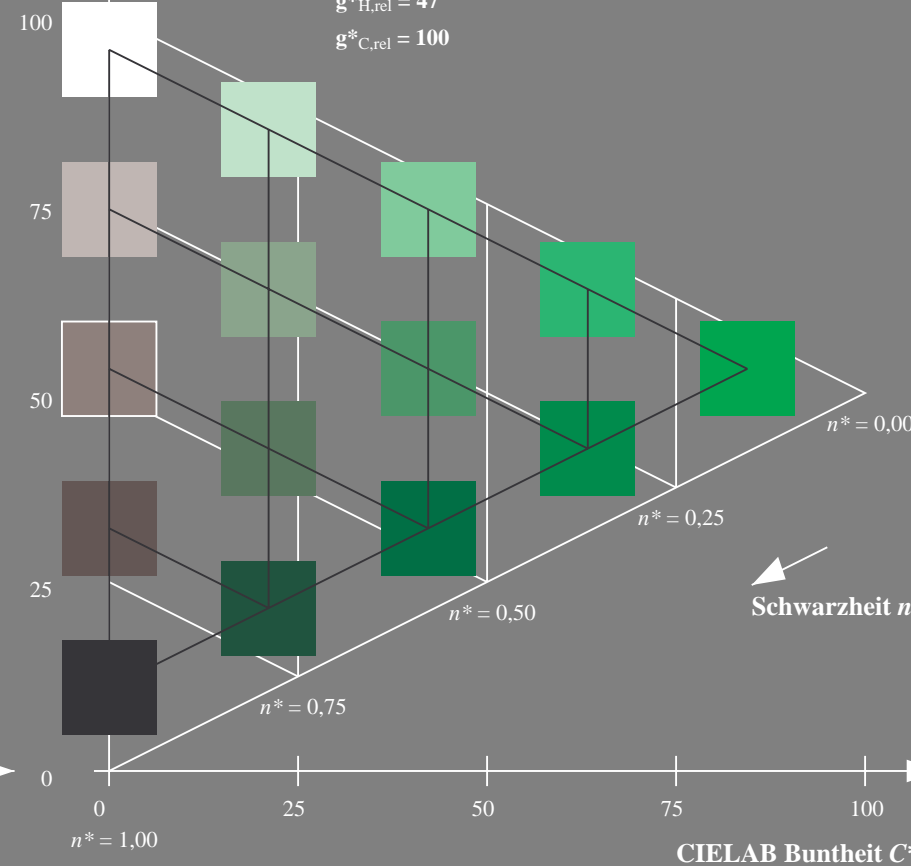
	$L^*=L^*_a$	$a^*_a$	$b^*_a$	$C^*_{ab,a}$	$h^*_{ab,a}$
RMa	53.2	77.06	34.32	84.36	24
JMa	53.2	-1.51	84.38	84.39	91
GMa	53.2	-82.27	18.98	84.44	167
G50BMa	53.2	-77.72	-32.98	84.44	203
BMa	53.2	4.37	-84.28	84.41	273
B50RMa	53.2	69.09	-48.41	84.37	325
NMa	10.99	0.0	0.0	0.0	0
WMa	95.41	0.0	0.0	0.0	0
RCIE	39.92	58.69	27.98	65.01	25
JCIE	81.26	-2.9	71.56	71.62	92
GCIE	52.23	-42.45	13.59	44.59	162
BCIE	30.57	1.35	-46.48	46.51	272

CIELAB-Helligkeit  $L^*$ 

%Umfang

 $u^*_{rel} = 119$ 

%Regularität

 $g^*_{H,rel} = 47$  $g^*_{C,rel} = 100$ 

5 stufige Reihen für konstanten CIELAB Buntton 167/360 = 0.464 (rechts)

BAM-Prüfvorlage UG22; Farbmétrik-Systeme ORS18 & ORS18input: *cmY0\* setcmykcolor*D65: Koordinaten-Systeme von 5stufigen Farbreihen für 10 Bunttoninput: *Startup (S) data dependend*

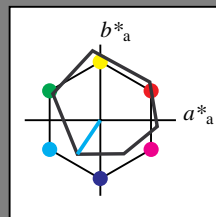
## Eingabe: Farbmétrisches Reflexions-System ORS18

für Buntton  $h^* = lab \cdot h = 236/360 = 0.656$  $lab \cdot tch$  und  $lab \cdot nch$ 

D65: Buntton C

LCH\*Ma: 59 54 236

rgb\*Ma: 0.0 1.0 1.0

Dreiecks-Helligkeit  $t^*$ 

%Umfang

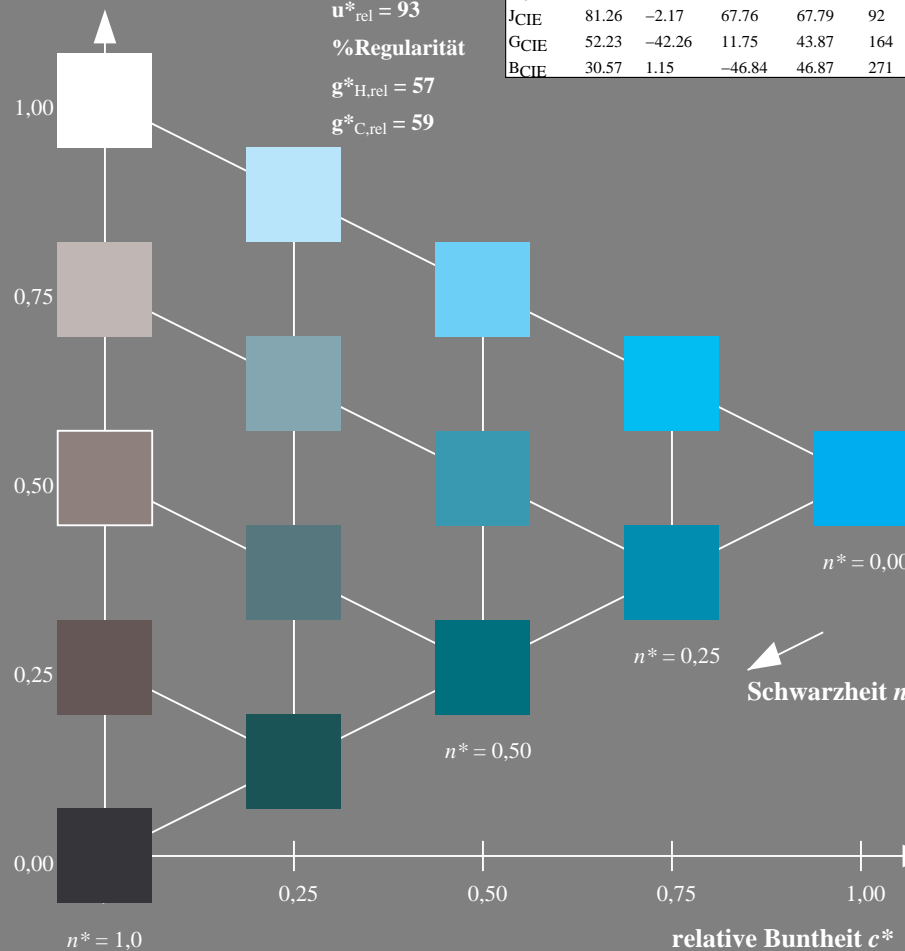
 $u^*_{rel} = 93$ 

%Regularität

 $g^*_{H,rel} = 57$  $g^*_{C,rel} = 59$ 

## ORS18; adaptierte CIELAB-Daten

	$L^*=L^*_a$	$a^*_a$	$b^*_a$	$C^*_{ab,a}$	$h^*_{ab,a}$
OMa	47.94	65.37	50.52	82.62	38
YMa	90.37	-10.27	91.77	92.34	96
LMa	50.9	-62.79	34.95	71.87	151
CMa	58.62	-30.35	-45.01	54.3	236
VMa	25.71	31.11	-44.42	54.24	305
MMa	48.13	75.27	-8.35	75.73	354
NMa	18.01	0.0	0.0	0.0	0
WMa	95.41	0.0	0.0	0.0	0
RCIE	39.92	58.66	26.98	64.56	25
JCIE	81.26	-2.17	67.76	67.79	92
GCIE	52.23	-42.26	11.75	43.87	164
BCIE	30.57	1.15	-46.84	46.87	271

UG220-7, 5 stufige Reihen für konstanten CIELAB Buntton  $236/360 = 0.656$  (links)

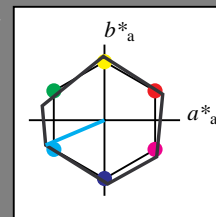
## Ausgabe: Farbmétrisches Reflexions-System NRS11

für Buntton  $h^* = lab \cdot h = 203/360 = 0.564$  $LAB \cdot LCH$ ,  $LAB \cdot NCH$ 

D65: Buntton G50B

LCH\*Ma: 53 84 203

rgb\*Ma: 0.0 1.0 1.0

CIELAB-Helligkeit  $L^*$ 

%Umfang

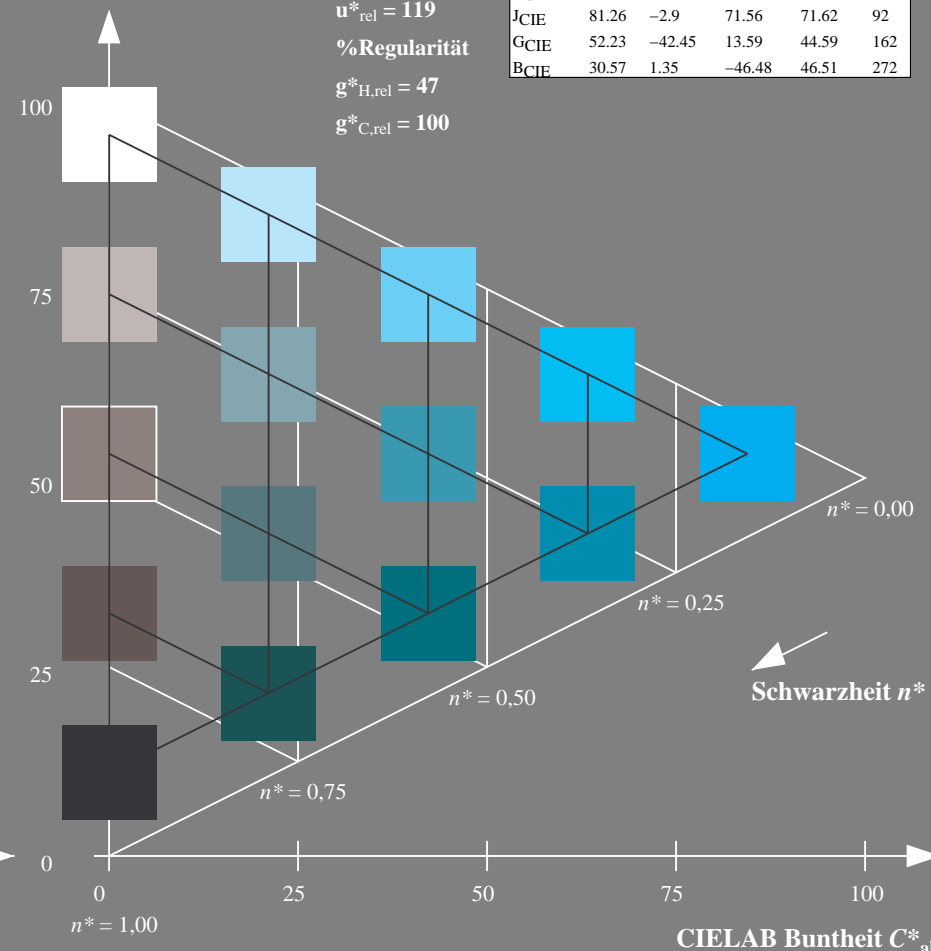
 $u^*_{rel} = 119$ 

%Regularität

 $g^*_{H,rel} = 47$  $g^*_{C,rel} = 100$ 

## NRS11; adaptierte CIELAB-Daten

	$L^*=L^*_a$	$a^*_a$	$b^*_a$	$C^*_{ab,a}$	$h^*_{ab,a}$
RMa	53.2	77.06	34.32	84.36	24
JMa	53.2	-1.51	84.38	84.39	91
GMa	53.2	-82.27	18.98	84.44	167
G50BMa	53.2	-77.72	-32.98	84.44	203
BMa	53.2	4.37	-84.28	84.41	273
B50RMa	53.2	69.09	-48.41	84.37	325
NMa	10.99	0.0	0.0	0.0	0
WMa	95.41	0.0	0.0	0.0	0
RCIE	39.92	58.69	27.98	65.01	25
JCIE	81.26	-2.9	71.56	71.62	92
GCIE	52.23	-42.45	13.59	44.59	162
BCIE	30.57	1.35	-46.48	46.51	272

5 stufige Reihen für konstanten CIELAB Buntton  $203/360 = 0.564$  (rechts)BAM-Prüfvorlage UG22; Farbmétrik-Systeme ORS18 & ORS18input:  $cmY0^* setcmykcolor$ 

D65: Koordinaten-Systeme von 5stufigen Farbreihen für 10 Bunttoninput: Startup (S) data dependend



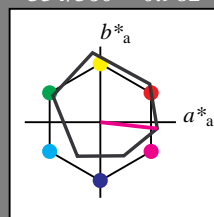
## Eingabe: Farbmimetrisches Reflexions-System ORS18

für Buntton  $h^* = lab \cdot h = 354/360 = 0.982$  $lab \cdot tch$  und  $lab \cdot nch$ 

D65: Buntton M

LCH\*Ma: 48 76 354

rgb\*Ma: 1.0 0.0 1.0

Dreiecks-Helligkeit  $t^*$ 

%Umfang

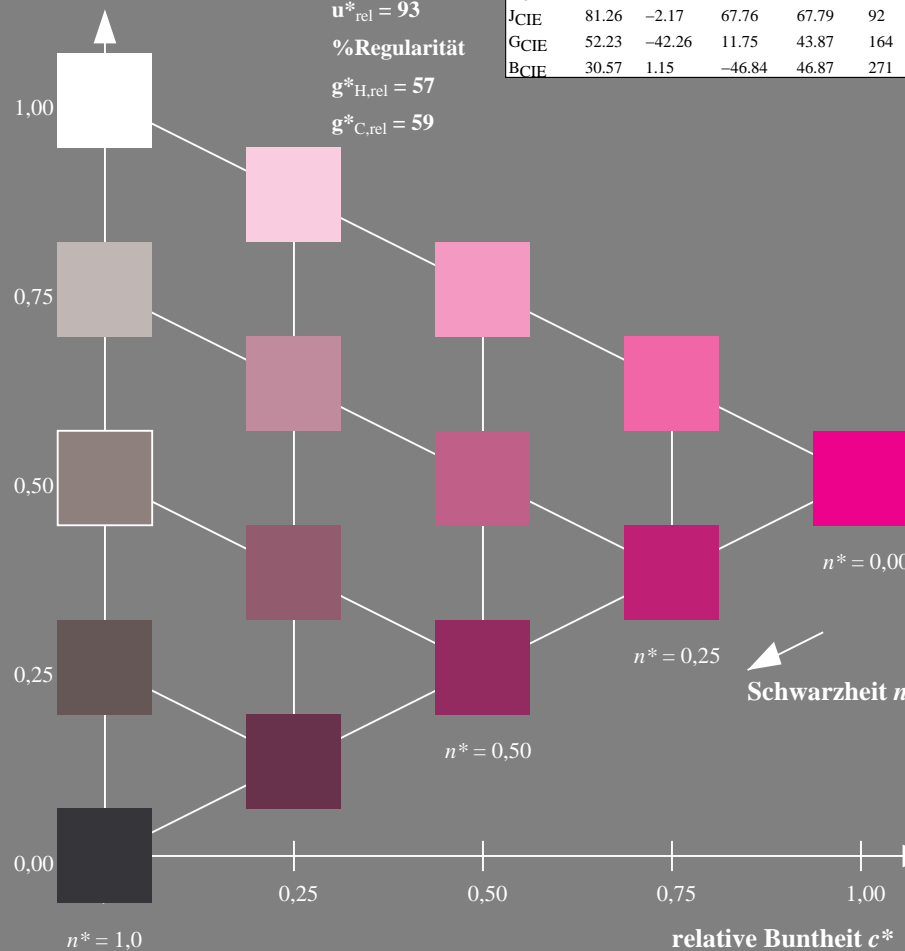
 $u^*_{rel} = 93$ 

%Regularität

 $g^*_{H,rel} = 57$  $g^*_{C,rel} = 59$ 

## ORS18; adaptierte CIELAB-Daten

	$L^*=L^*_a$	$a^*_a$	$b^*_a$	$C^*_{ab,a}$	$h^*_{ab,a}$
OMa	47.94	65.37	50.52	82.62	38
YMa	90.37	-10.27	91.77	92.34	96
LMa	50.9	-62.79	34.95	71.87	151
CMa	58.62	-30.35	-45.01	54.3	236
VMa	25.71	31.11	-44.42	54.24	305
MMa	48.13	75.27	-8.35	75.73	354
NMa	18.01	0.0	0.0	0.0	0
WMa	95.41	0.0	0.0	0.0	0
RCIE	39.92	58.66	26.98	64.56	25
JCIE	81.26	-2.17	67.76	67.79	92
GCIE	52.23	-42.26	11.75	43.87	164
BCIE	30.57	1.15	-46.84	46.87	271



UG220-7, 5 stufige Reihen für konstanten CIELAB Buntton 354/360 = 0.982 (links)

BAM-Prüfvorlage UG22; Farbmimetrische Systeme ORS18 &amp; ORS18input: cmy0\* setcmykcolor

D65: Koordinaten-Systeme von 5stufigen Farbreihen für 10 Bunttoninput: Startup (S) data dependend

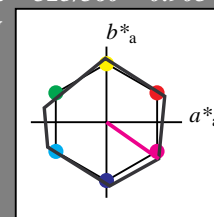
## Ausgabe: Farbmimetrisches Reflexions-System NRS11

für Buntton  $h^* = lab \cdot h = 325/360 = 0.903$  $LAB \cdot LCH$ ,  $LAB \cdot NCH$ 

D65: Buntton B50R

LCH\*Ma: 53 84 325

rgb\*Ma: 1.0 0.0 1.0

CIELAB-Helligkeit  $L^*$ 

%Umfang

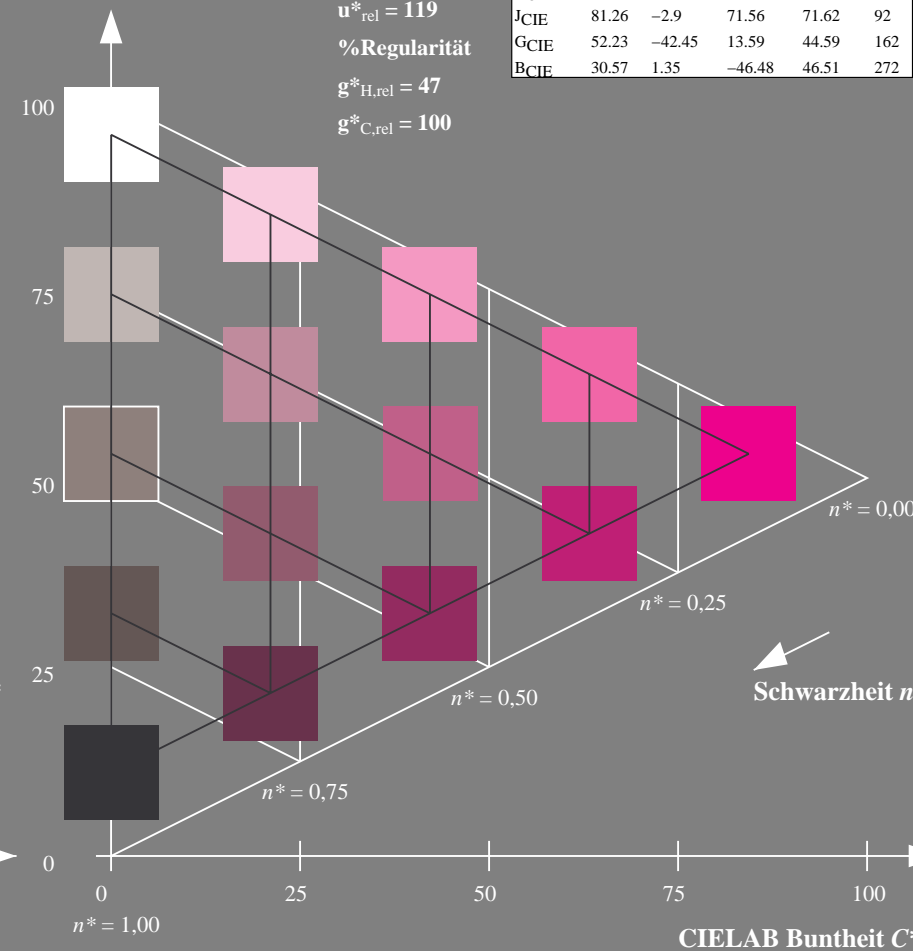
 $u^*_{rel} = 119$ 

%Regularität

 $g^*_{H,rel} = 47$  $g^*_{C,rel} = 100$ 

## NRS11; adaptierte CIELAB-Daten

	$L^*=L^*_a$	$a^*_a$	$b^*_a$	$C^*_{ab,a}$	$h^*_{ab,a}$
RMa	53.2	77.06	34.32	84.36	24
JMa	53.2	-1.51	84.38	84.39	91
GMa	53.2	-82.27	18.98	84.44	167
G50BMa	53.2	-77.72	-32.98	84.44	203
BMa	53.2	4.37	-84.28	84.41	273
B50RMa	53.2	69.09	-48.41	84.37	325
NMa	10.99	0.0	0.0	0.0	0
WMa	95.41	0.0	0.0	0.0	0
RCIE	39.92	58.69	27.98	65.01	25
JCIE	81.26	-2.9	71.56	71.62	92
GCIE	52.23	-42.45	13.59	44.59	162
BCIE	30.57	1.35	-46.48	46.51	272



5 stufige Reihen für konstanten CIELAB Buntton 325/360 = 0.903 (rechts)

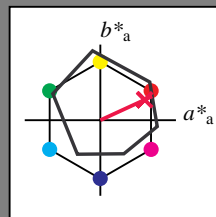
## Eingabe: Farbmétrisches Reflexions-System ORS18

für Buntton  $h^* = lab \cdot h = 25/360 = 0.069$  $lab \cdot tch$  und  $lab \cdot nch$ 

D65: Buntton R

LCH\*Ma: 48 75 25

rgb\*Ma: 1.0 0.0 0.32

Dreiecks-Helligkeit  $t^*$ 

%Umfang

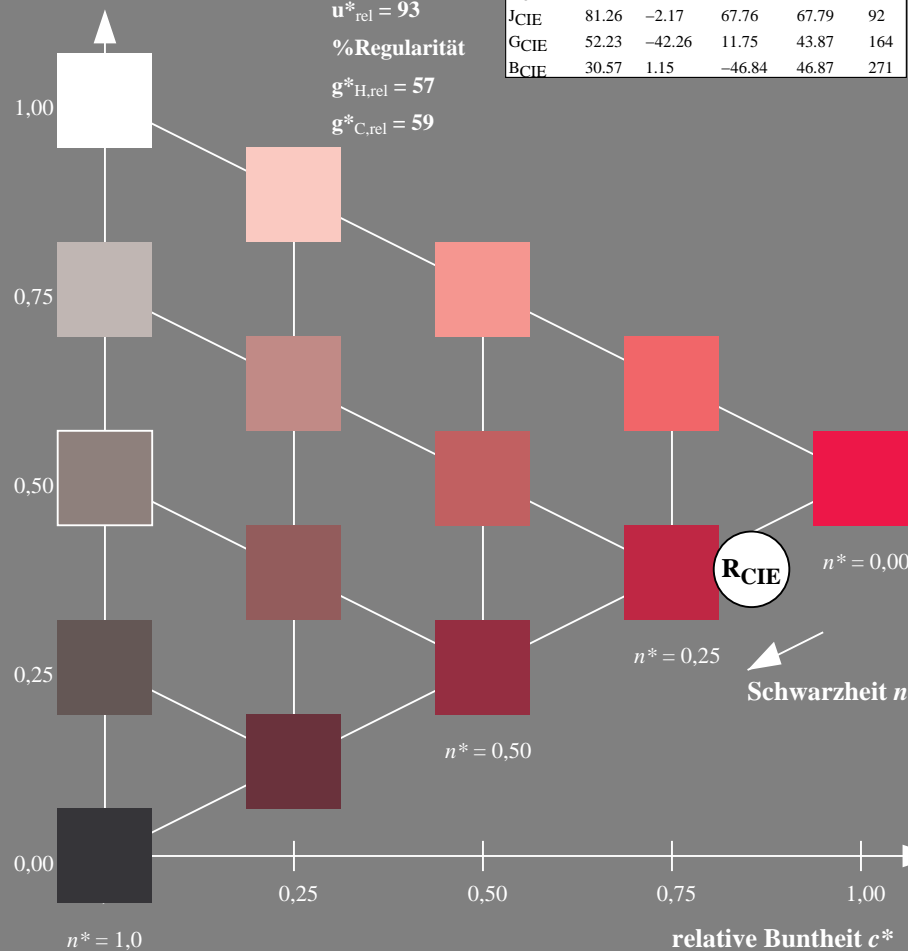
 $u^*_{rel} = 93$ 

%Regularität

 $g^*_{H,rel} = 57$  $g^*_{C,rel} = 59$ 

## ORS18; adaptierte CIELAB-Daten

	$L^*=L^*_a$	$a^*_a$	$b^*_a$	$C^*_{ab,a}$	$h^*_{ab,a}$
OMa	47.94	65.37	50.52	82.62	38
YMa	90.37	-10.27	91.77	92.34	96
LMa	50.9	-62.79	34.95	71.87	151
CMa	58.62	-30.35	-45.01	54.3	236
VMa	25.71	31.11	-44.42	54.24	305
MMa	48.13	75.27	-8.35	75.73	354
NMa	18.01	0.0	0.0	0.0	0
WMa	95.41	0.0	0.0	0.0	0
RCIE	39.92	58.66	26.98	64.56	25
JCIE	81.26	-2.17	67.76	67.79	92
GCIE	52.23	-42.26	11.75	43.87	164
BCIE	30.57	1.15	-46.84	46.87	271



UG220-7, 5 stufige Reihen für konstanten CIELAB Buntton 25/360 = 0.069 (links)

BAM-Prüfvorlage UG22; Farbmétrik-Systeme ORS18 & ORS18input: *cmY0\* setcmykcolor*D65: Koordinaten-Systeme von 5stufigen Farbreihen für 10 Bunttoninput: *Startup (S) data dependend*

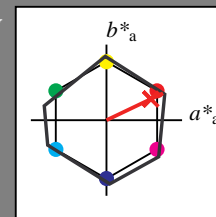
## Ausgabe: Farbmétrisches Reflexions-System NRS11

für Buntton  $h^* = lab \cdot h = 25/360 = 0.071$  $LAB \cdot LCH$ ,  $LAB \cdot NCH$ 

D65: Buntton R

LCH\*Ma: 53 83 25

rgb\*Ma: 1.0 0.03 0.0

CIELAB-Helligkeit  $L^*$ 

%Umfang

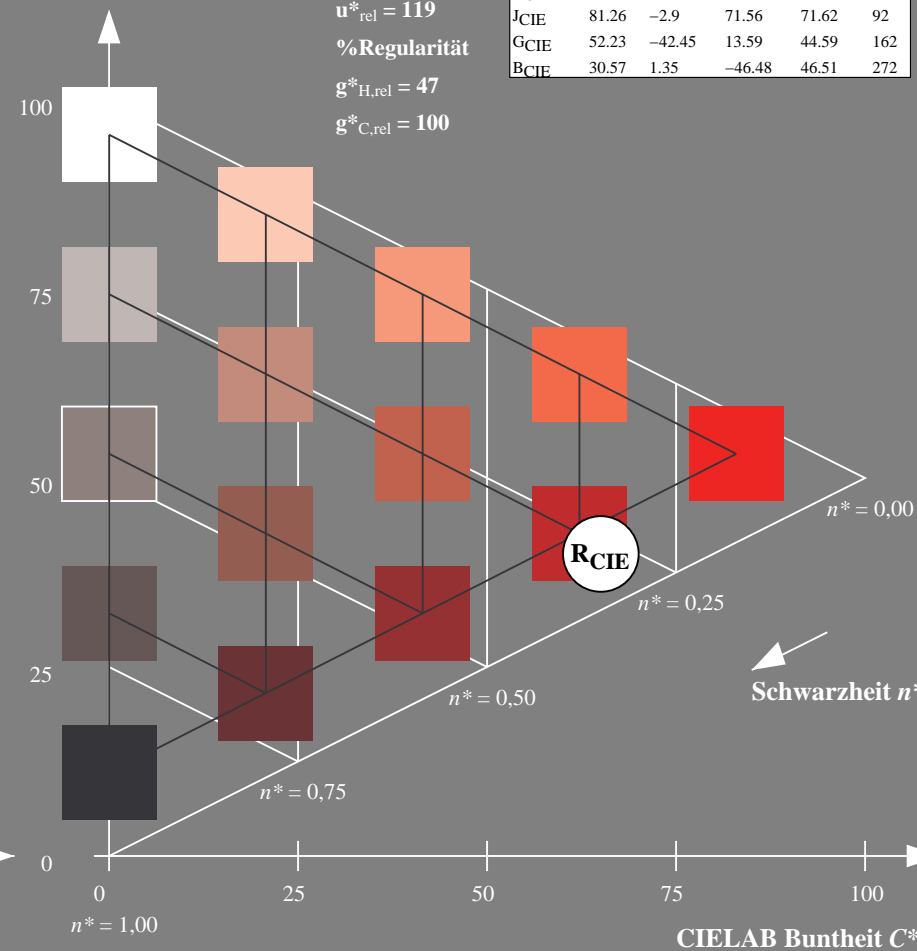
 $u^*_{rel} = 119$ 

%Regularität

 $g^*_{H,rel} = 47$  $g^*_{C,rel} = 100$ 

## NRS11; adaptierte CIELAB-Daten

	$L^*=L^*_a$	$a^*_a$	$b^*_a$	$C^*_{ab,a}$	$h^*_{ab,a}$
RMa	53.2	77.06	34.32	84.36	24
JMa	53.2	-1.51	84.38	84.39	91
GMa	53.2	-82.27	18.98	84.44	167
G50BMa	53.2	-77.72	-32.98	84.44	203
BMa	53.2	4.37	-84.28	84.41	273
B50RMa	53.2	69.09	-48.41	84.37	325
NMa	10.99	0.0	0.0	0.0	0
WMa	95.41	0.0	0.0	0.0	0
RCIE	39.92	58.69	27.98	65.01	25
JCIE	81.26	-2.9	71.56	71.62	92
GCIE	52.23	-42.45	13.59	44.59	162
BCIE	30.57	1.35	-46.48	46.51	272



5 stufige Reihen für konstanten CIELAB Buntton 25/360 = 0.071 (rechts)



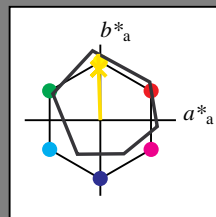
## Eingabe: Farbmimetrisches Reflexions-System ORS18

für Buntton  $h^* = lab \cdot h = 92/360 = 0.255$  $lab \cdot tch$  und  $lab \cdot nch$ 

D65: Buntton J

LCH\*Ma: 86 88 92

rgb\*Ma: 1.0 0.9 0.0

Dreiecks-Helligkeit  $t^*$ 

%Umfang

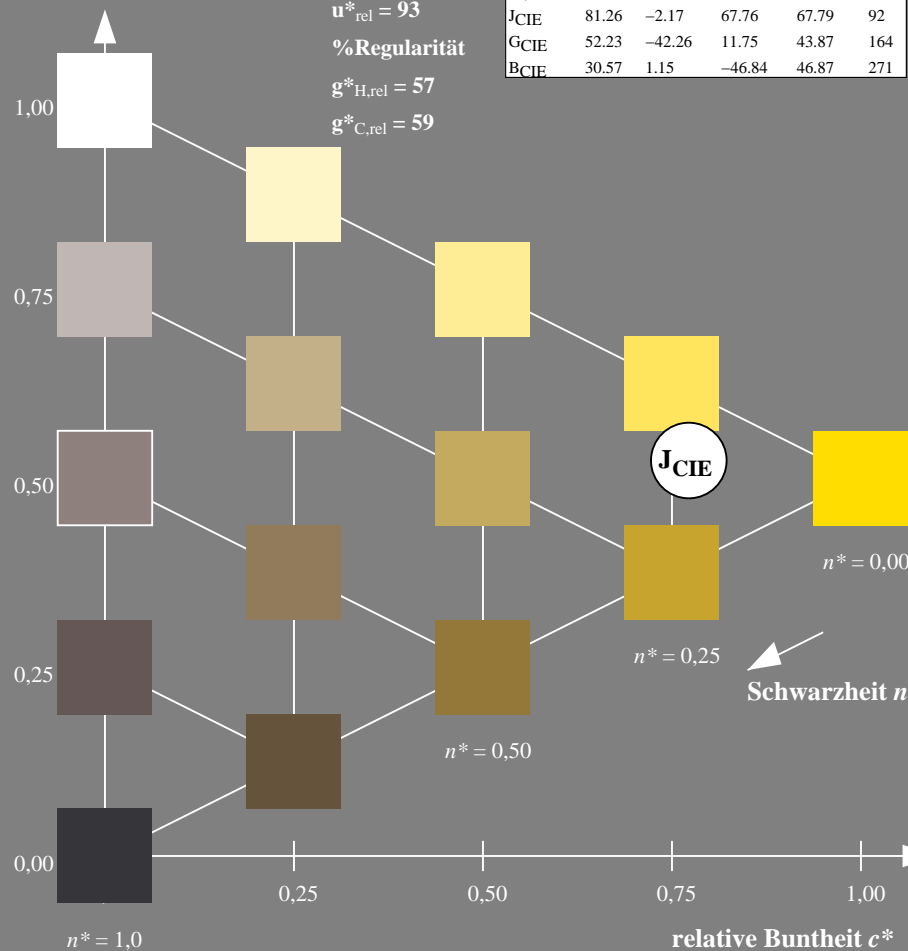
 $u^*_{rel} = 93$ 

%Regularität

 $g^*_{H,rel} = 57$  $g^*_{C,rel} = 59$ 

## ORS18; adaptierte CIELAB-Daten

	$L^*=L^*_a$	$a^*_a$	$b^*_a$	$C^*_{ab,a}$	$h^*_{ab,a}$
OMa	47.94	65.37	50.52	82.62	38
YMa	90.37	-10.27	91.77	92.34	96
LMa	50.9	-62.79	34.95	71.87	151
CMa	58.62	-30.35	-45.01	54.3	236
VMa	25.71	31.11	-44.42	54.24	305
MMa	48.13	75.27	-8.35	75.73	354
NMa	18.01	0.0	0.0	0.0	0
WMa	95.41	0.0	0.0	0.0	0
RCIE	39.92	58.66	26.98	64.56	25
JCIE	81.26	-2.17	67.76	67.79	92
GCIE	52.23	-42.26	11.75	43.87	164
BCIE	30.57	1.15	-46.84	46.87	271



UG220-7, 5 stufige Reihen für konstanten CIELAB Buntton 92/360 = 0.255 (links)

BAM-Prüfvorlage UG22; Farbmimetrik-Systeme ORS18 &amp; ORS18input: cmy0\* setcmykcolor

D65: Koordinaten-Systeme von 5stufigen Farbreihen für 10 Bunttoninput: Startup (S) data dependend

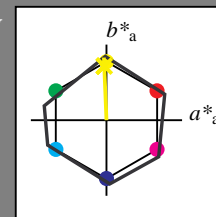
## Ausgabe: Farbmimetrisches Reflexions-System NRS11

für Buntton  $h^* = lab \cdot h = 92/360 = 0.256$  $LAB \cdot LCH$ ,  $LAB \cdot NCH$ 

D65: Buntton J

LCH\*Ma: 53 83 92

rgb\*Ma: 0.98 1.0 0.0

CIELAB-Helligkeit  $L^*$ 

%Umfang

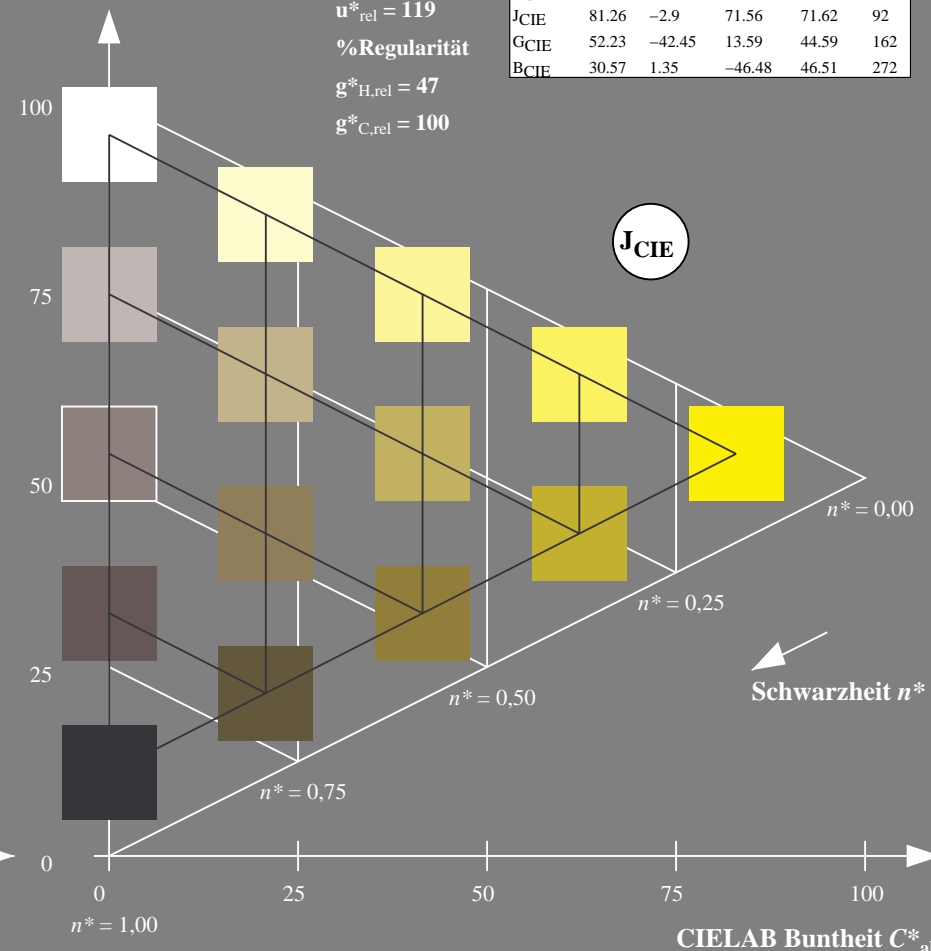
 $u^*_{rel} = 119$ 

%Regularität

 $g^*_{H,rel} = 47$  $g^*_{C,rel} = 100$ 

## NRS11; adaptierte CIELAB-Daten

	$L^*=L^*_a$	$a^*_a$	$b^*_a$	$C^*_{ab,a}$	$h^*_{ab,a}$
RMa	53.2	77.06	34.32	84.36	24
JMa	53.2	-1.51	84.38	84.39	91
GMa	53.2	-82.27	18.98	84.44	167
G50BMa	53.2	-77.72	-32.98	84.44	203
BMa	53.2	4.37	-84.28	84.41	273
B50RMa	53.2	69.09	-48.41	84.37	325
NMa	10.99	0.0	0.0	0.0	0
WMa	95.41	0.0	0.0	0.0	0
RCIE	39.92	58.69	27.98	65.01	25
JCIE	81.26	-2.9	71.56	71.62	92
GCIE	52.23	-42.45	13.59	44.59	162
BCIE	30.57	1.35	-46.48	46.51	272



5 stufige Reihen für konstanten CIELAB Buntton 92/360 = 0.256 (rechts)



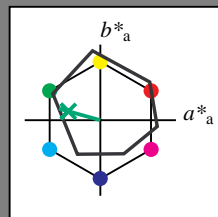
## Eingabe: Farbmétrisches Reflexions-System ORS18

für Buntton  $h^* = lab^*h = 164/360 = 0.457$  $lab^*tch$  und  $lab^*nch$ 

D65: Buntton G

LCH\*Ma: 53 57 164

rgb\*Ma: 0.0 1.0 0.25

Dreiecks-Helligkeit  $t^*$ 

%Umfang

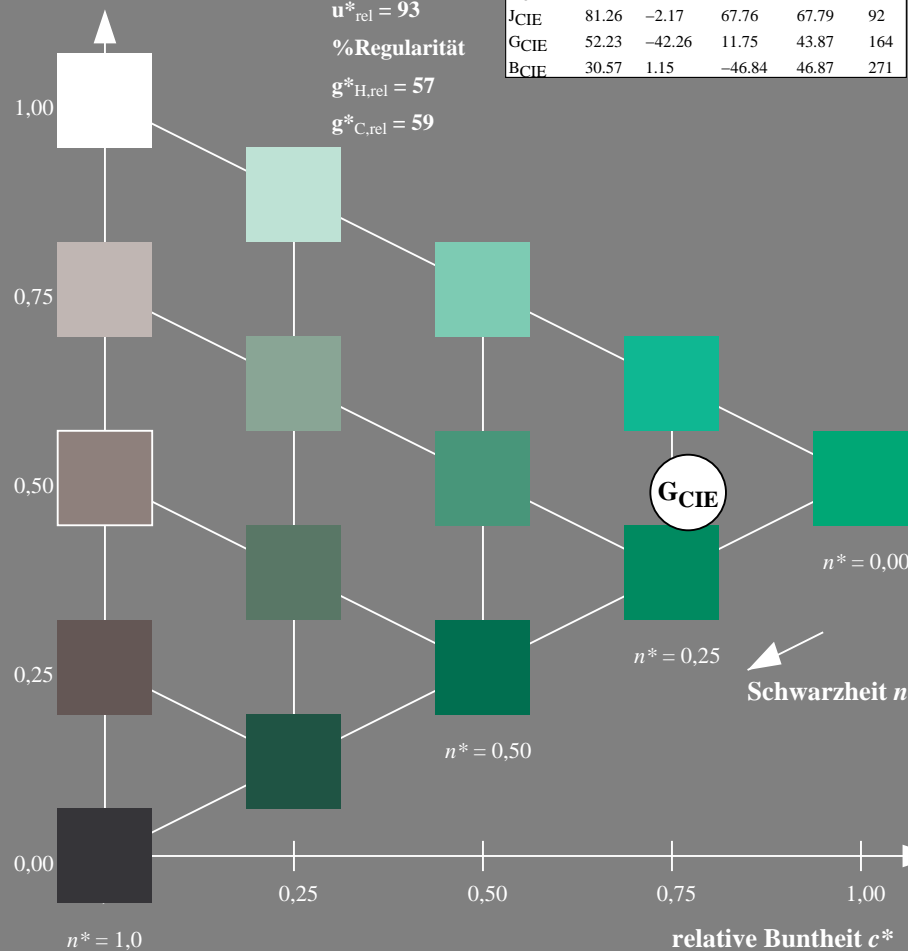
 $u^*_{rel} = 93$ 

%Regularität

 $g^*_{H,rel} = 57$  $g^*_{C,rel} = 59$ 

## ORS18; adaptierte CIELAB-Daten

	$L^*=L^*_a$	$a^*_a$	$b^*_a$	$C^*_{ab,a}$	$h^*_{ab,a}$
OMa	47.94	65.37	50.52	82.62	38
YMa	90.37	-10.27	91.77	92.34	96
LMa	50.9	-62.79	34.95	71.87	151
CMa	58.62	-30.35	-45.01	54.3	236
VMa	25.71	31.11	-44.42	54.24	305
MMa	48.13	75.27	-8.35	75.73	354
NMa	18.01	0.0	0.0	0.0	0
WMa	95.41	0.0	0.0	0.0	0
RCIE	39.92	58.66	26.98	64.56	25
JCIE	81.26	-2.17	67.76	67.79	92
GCIE	52.23	-42.26	11.75	43.87	164
BCIE	30.57	1.15	-46.84	46.87	271



UG220-7, 5 stufige Reihen für konstanten CIELAB Buntton 164/360 = 0.457 (links)

BAM-Prüfvorlage UG22; Farbmétrik-Systeme ORS18 & ORS18input:  $cmY0^*$  setcmykcolor

D65: Koordinaten-Systeme von 5stufigen Farbreihen für 10 Bunttoninput: Startup (S) data dependend

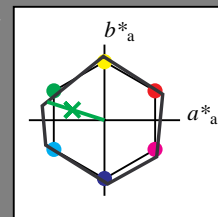
## Ausgabe: Farbmétrisches Reflexions-System NRS11

für Buntton  $h^* = lab^*h = 162/360 = 0.451$  $LAB^*LCH$ ,  $LAB^*NCH$ 

D65: Buntton G

LCH\*Ma: 53 80 162

rgb\*Ma: 0.08 1.0 0.0

CIELAB-Helligkeit  $L^*$ 

%Umfang

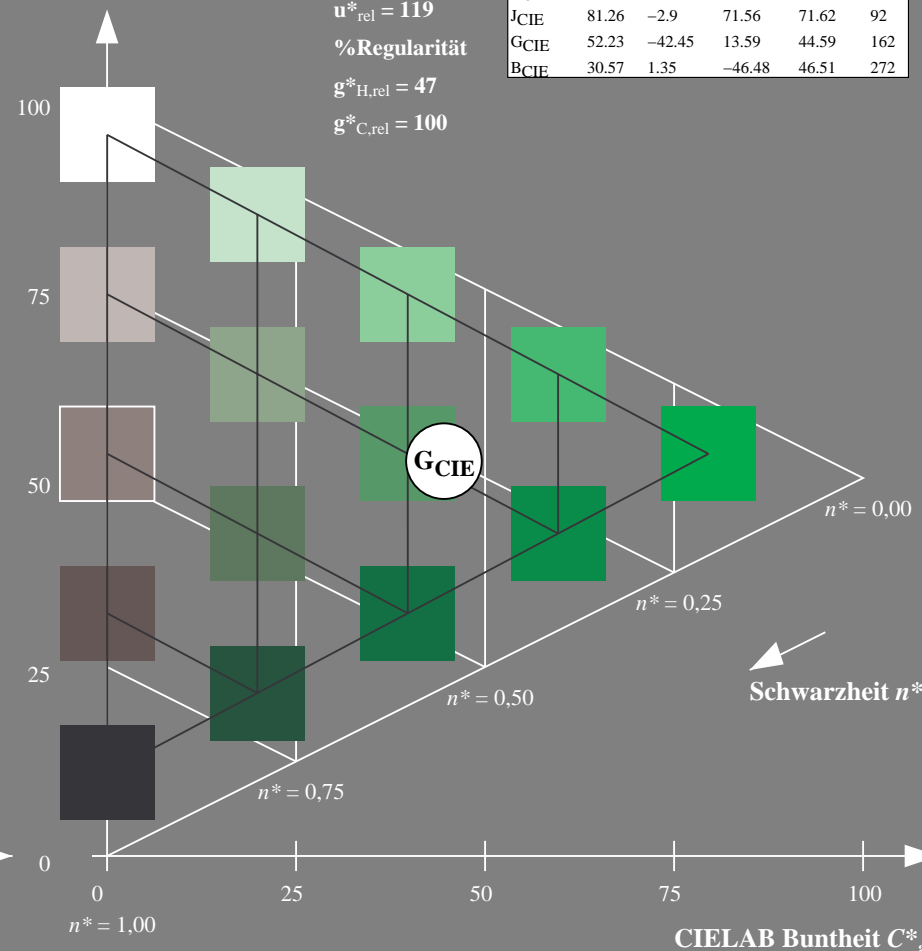
 $u^*_{rel} = 119$ 

%Regularität

 $g^*_{H,rel} = 47$  $g^*_{C,rel} = 100$ 

## NRS11; adaptierte CIELAB-Daten

	$L^*=L^*_a$	$a^*_a$	$b^*_a$	$C^*_{ab,a}$	$h^*_{ab,a}$
RMa	53.2	77.06	34.32	84.36	24
JMa	53.2	-1.51	84.38	84.39	91
GMa	53.2	-82.27	18.98	84.44	167
G50BMa	53.2	-77.72	-32.98	84.44	203
BMa	53.2	4.37	-84.28	84.41	273
B50RMa	53.2	69.09	-48.41	84.37	325
NMa	10.99	0.0	0.0	0.0	0
WMa	95.41	0.0	0.0	0.0	0
RCIE	39.92	58.69	27.98	65.01	25
JCIE	81.26	-2.9	71.56	71.62	92
GCIE	52.23	-42.45	13.59	44.59	162
BCIE	30.57	1.35	-46.48	46.51	272



5 stufige Reihen für konstanten CIELAB Buntton 162/360 = 0.451 (rechts)

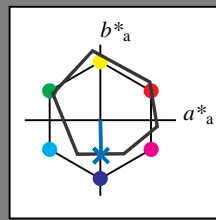
## Eingabe: Farbmimetrisches Reflexions-System ORS18

für Buntton  $h^* = lab \cdot h = 271/360 = 0.754$  $lab \cdot tch$  und  $lab \cdot nch$ 

D65: Buntton B

LCH\*Ma: 42 45 271

rgb\*Ma: 0.0 0.49 1.0

Dreiecks-Helligkeit  $t^*$ 

%Umfang

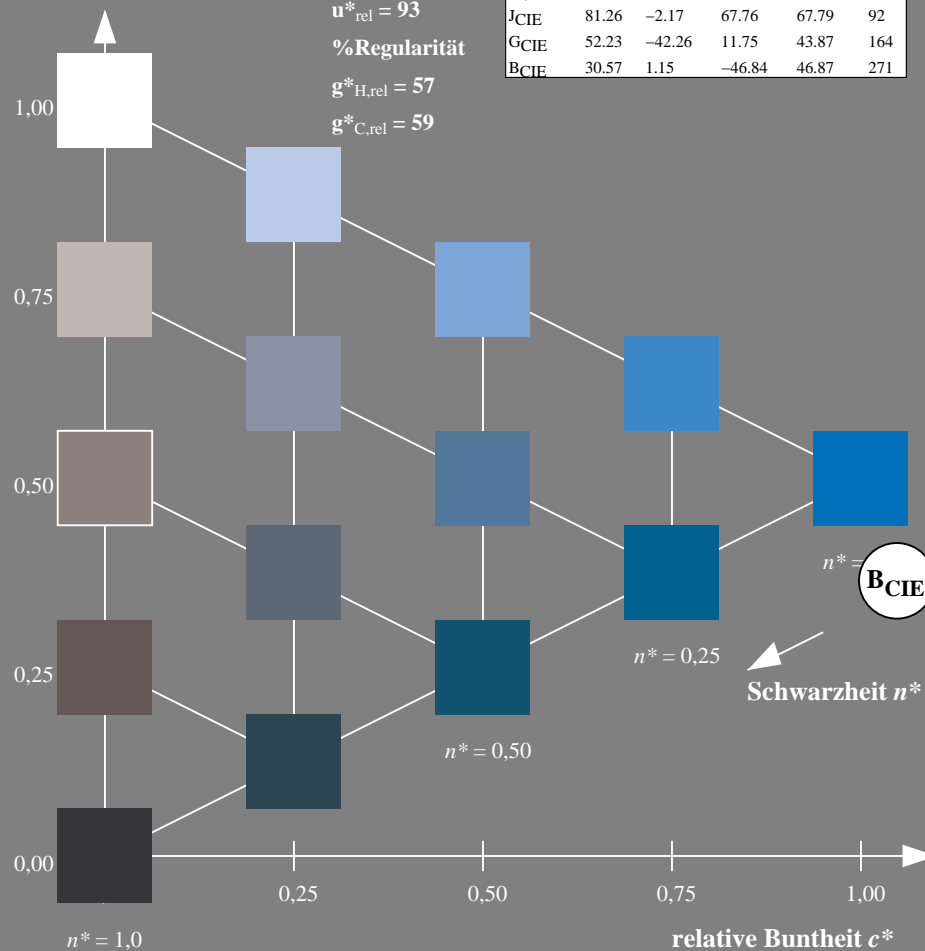
 $u^*_{rel} = 93$ 

%Regularität

 $g^*_{H,rel} = 57$  $g^*_{C,rel} = 59$ 

## ORS18; adaptierte CIELAB-Daten

	$L^*=L^*_a$	$a^*_a$	$b^*_a$	$C^*_{ab,a}$	$h^*_{ab,a}$
OMa	47.94	65.37	50.52	82.62	38
YMa	90.37	-10.27	91.77	92.34	96
LMa	50.9	-62.79	34.95	71.87	151
CMa	58.62	-30.35	-45.01	54.3	236
VMa	25.71	31.11	-44.42	54.24	305
MMa	48.13	75.27	-8.35	75.73	354
NMa	18.01	0.0	0.0	0.0	0
WMa	95.41	0.0	0.0	0.0	0
RCIE	39.92	58.66	26.98	64.56	25
JCIE	81.26	-2.17	67.76	67.79	92
GCIE	52.23	-42.26	11.75	43.87	164
BCIE	30.57	1.15	-46.84	46.87	271



UG220-7, 5 stufige Reihen für konstanten CIELAB Buntton 271/360 = 0.754 (links)

BAM-Prüfvorlage UG22; Farbmimetrische Systeme ORS18 & ORS18input:  $cmY0^* setcmykcolor$ 

D65: Koordinaten-Systeme von 5stufigen Farbreihen für 10 Bunttoninput: Startup (S) data dependend

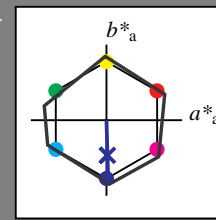
## Ausgabe: Farbmimetrisches Reflexions-System NRS11

für Buntton  $h^* = lab \cdot h = 272/360 = 0.755$  $LAB \cdot LCH$ ,  $LAB \cdot NCH$ 

D65: Buntton B

LCH\*Ma: 53 83 272

rgb\*Ma: 0.0 0.02 1.0

CIELAB-Helligkeit  $L^*$ 

%Umfang

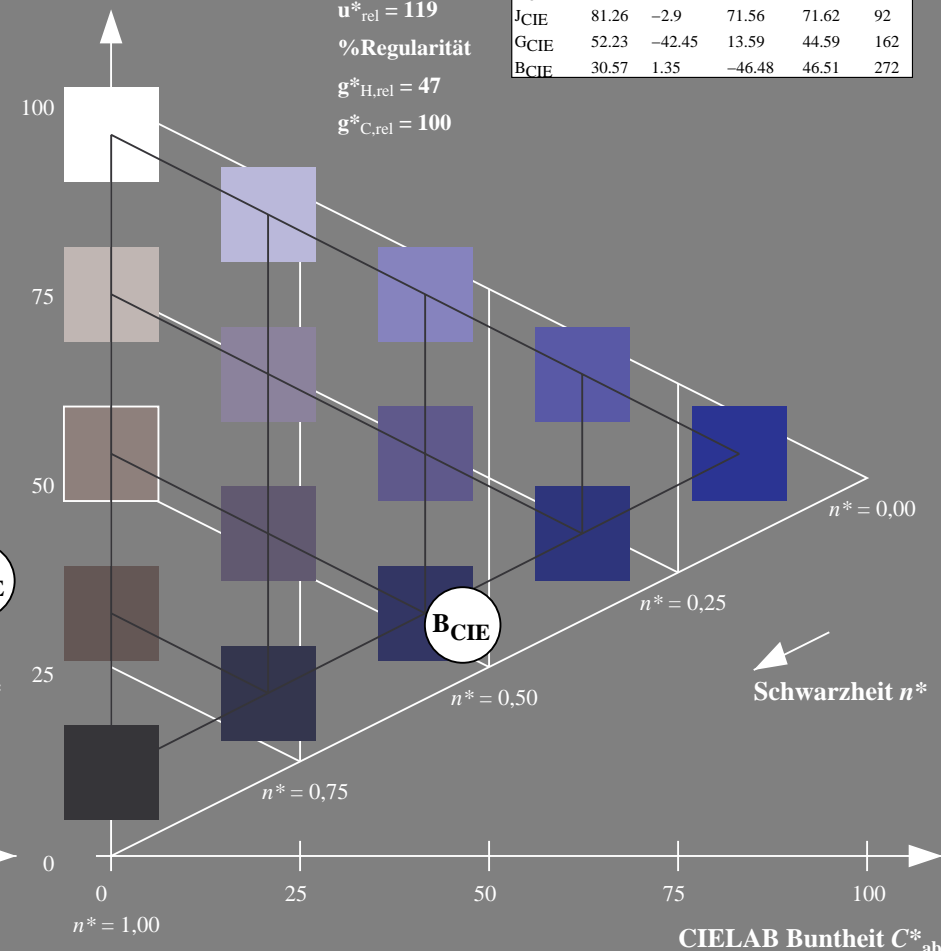
 $u^*_{rel} = 119$ 

%Regularität

 $g^*_{H,rel} = 47$  $g^*_{C,rel} = 100$ 

## NRS11; adaptierte CIELAB-Daten

	$L^*=L^*_a$	$a^*_a$	$b^*_a$	$C^*_{ab,a}$	$h^*_{ab,a}$
RMa	53.2	77.06	34.32	84.36	24
JMa	53.2	-1.51	84.38	84.39	91
GMa	53.2	-82.27	18.98	84.44	167
G50BMa	53.2	-77.72	-32.98	84.44	203
BMa	53.2	4.37	-84.28	84.41	273
B50RMa	53.2	69.09	-48.41	84.37	325
NMa	10.99	0.0	0.0	0.0	0
WMa	95.41	0.0	0.0	0.0	0
RCIE	39.92	58.69	27.98	65.01	25
JCIE	81.26	-2.9	71.56	71.62	92
GCIE	52.23	-42.45	13.59	44.59	162
BCIE	30.57	1.35	-46.48	46.51	272



5 stufige Reihen für konstanten CIELAB Buntton 272/360 = 0.755 (rechts)